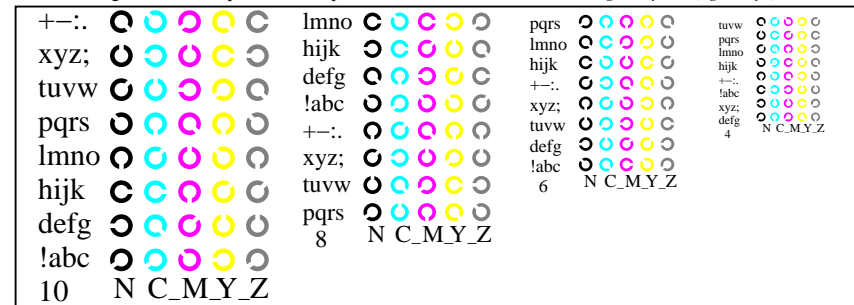
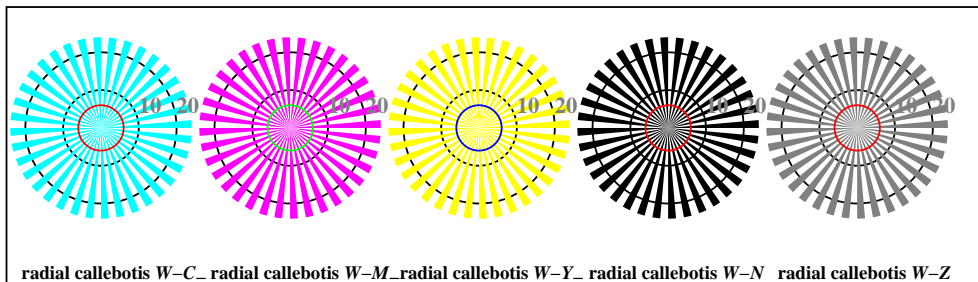


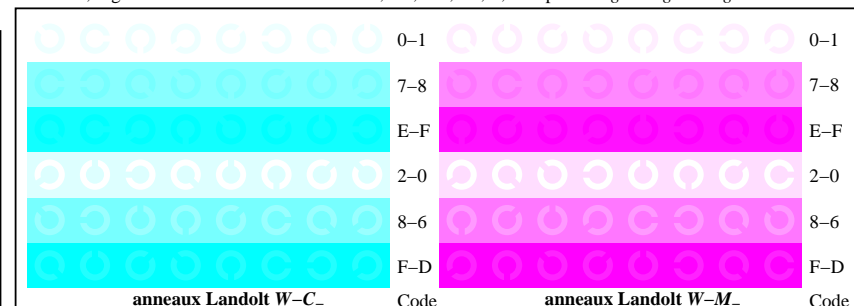
TF941-1, Fig. B4W-: 16 équadistants étapes  $W-C_-$ ;  $W-M_-$ ;  $W-Y_-$ ;  $W-N_-$ ;  $rgb/cmy0$  set( $rgb/cmyk$ )color



TF941-3, Fig. B5W-: code et Landolt anneau  $N$ ;  $C_-$ ;  $M_-$ ;  $Y_-$ ;  $Z$ ;  $PS$  operator  $rgb \rightarrow rgb\_setrgbcolor$



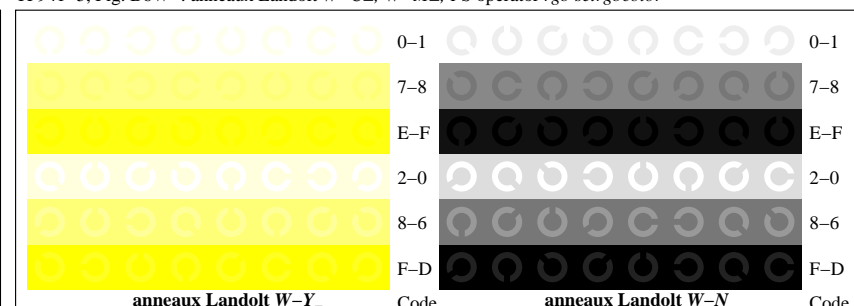
TF940-5, Fig. B2W-: radial callobotis  $W-C_-$ ;  $W-M_-$ ;  $W-Y_-$ ;  $W-N_-$ ;  $PS$  operator  $rgb \rightarrow rgb\_setrgbcolor$



TF941-5, Fig. B6W-: anneaux Landolt  $W-C_-$ ;  $W-M_-$ ;  $PS$  operator  $rgb$  setrgbcolor



TF940-7, Fig. B3W-: 14 CIE test couleurs et 2 + 16 gris étapes (sf);  $rgb/cmy0$  set( $rgb/cmyk$ )color



TF941-7, Fig. B7W-: anneaux Landolt  $W-Y_-$ ;  $W-N_-$ ;  $PS$  operator  $rgb$  setrgbcolor